

บทที่ 4

ผลการวิจัยและอภิปรายผลการวิจัย

4.1 สมบัติของไคโตซานและซีโอลีด์

สมบัติของไคโตซานและซีโอลีด์ที่ใช้ในงานวิจัยนี้ แสดงดังตารางที่ 4.1 โดยไคโตซานที่ใช้ในงานวิจัยนี้มีน้ำหนักโมเลกุล (Molecular weight) และร้อยละการกำจัดหมู่แอซีทิล (%) Deacetylation) เท่ากับ 9.5×10^5 ดอลตัน และ 90 ± 5 ตามลำดับ สมบัติของซีโอลีด์ทดสอบด้วยเครื่อง Surface Area Analyzer พบร่วมกับขนาดของรูพุน พื้นที่ผิว และปริมาตรรูพุน เท่ากับ 2551.6 อังสตรอม, 13.9 ตารางเมตรต่อกิโลกรัม และ 0.0137 ลูกบาศก์เซนติเมตรต่อกิโลกรัม ตามลำดับ

ตารางที่ 4.1 แสดงสมบัติของไคโตซานและซีโอลีด์

สมบัติ	หน่วย	ไคโตซาน (*)	ซีโอลีด์(๑)
น้ำหนักโมเลกุล	ดอลตัน	9.5×10^5	
ร้อยละการกำจัดหมู่แอซีทิล	%	90 ± 5	
ขนาดรูพุน	อังสตรอม (\AA)		2551.6
พื้นที่ผิว	m^2/g		13.9
ปริมาตรรูพุน	cm^3/g		0.0137

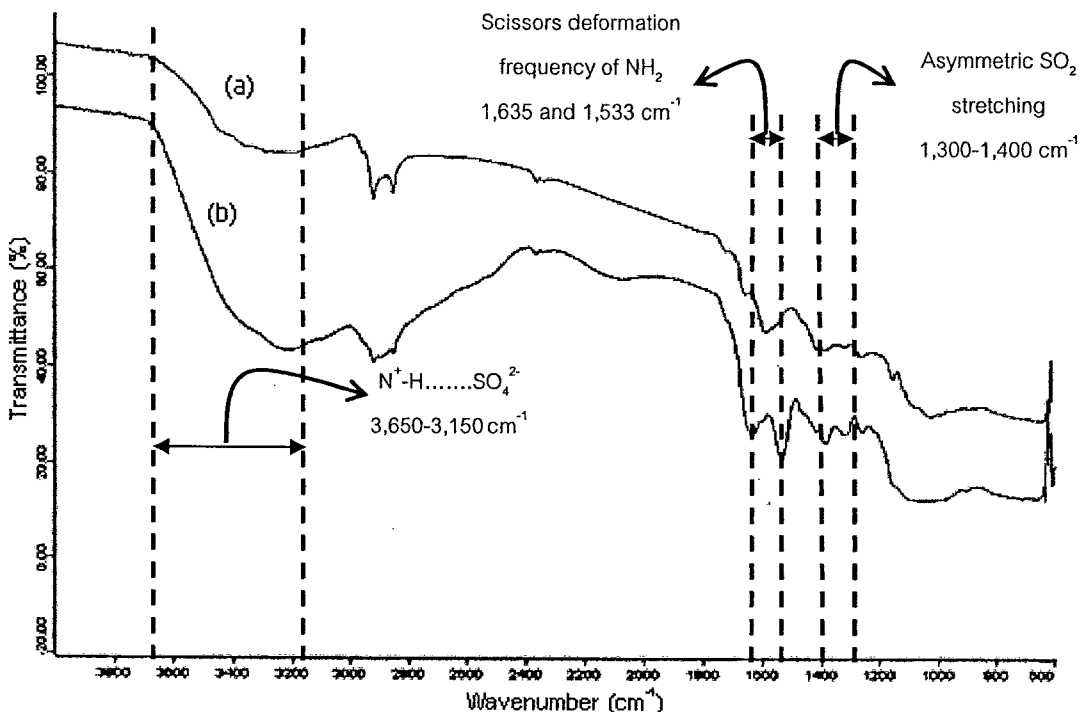
หมายเหตุ * ข้อมูลจากบริษัท Eland Corporation Ltd.

4.2 โครงสร้างทางเคมี

รูปที่ 4.1(a) แสดง FTIR spectrum ของเมมเบรนไคโตซานไม่เข้มข่าวง โดยปรากฏพีคสำคัญที่แสดงหมู่ฟังก์ชันของไคโตซาน ดังนี้ พีคของหมู่ Amine deformation (NH_2) ที่หมายเลขคลื่น 1592 cm^{-1} พีคของหมู่ C–O–C ใน Membered ring stretching ที่ช่วงหมายเลขคลื่นประมาณ 1074–1076 cm^{-1} พีคของหมู่ C–H stretching ที่ช่วงหมายเลขคลื่นประมาณ 2849–2916 cm^{-1} และพีคของหมู่ O–H และ N–H stretching ที่ช่วงหมายเลขคลื่นประมาณ 3358–3589 cm^{-1}

ผลจากการเข้มข่าวงเมมเบรนด้วยกรดซัลฟิวริกดังแสดงในรูปที่ 4.1(b) พบร่วงเกิดการเปลี่ยนแปลง ดังนี้ เกิดพีคคู่ของหมู่ NH_3^+ ที่หมายเลขคลื่น 1533 และ 1635 cm^{-1} อย่างชัดเจนเนื่องจากหมู่เอมีนในไคโตซานถูก Protonated โดยเปรียบอนจากกรดซัลฟิวริก นอกจากนี้ยังเกิดพีคลักษณะกว้างที่ช่วงหมายเลขคลื่นใกล้เคียง 3150 cm^{-1} และเกิดการเลื่อนไปของ C–H

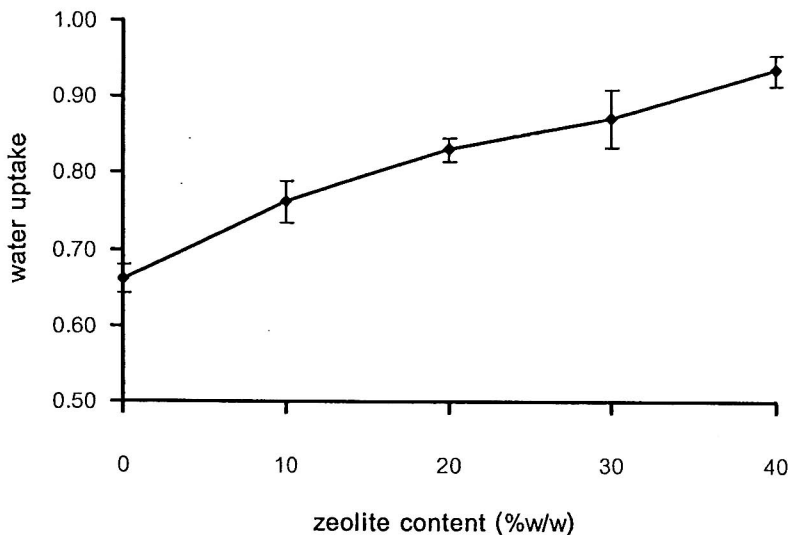
stretching ไปยังหมายเลขคลื่นที่สูงขึ้น เนื่องจากการเกิดพันธะไอโอนิกระหว่างหมู่ NH_3^+ และ SO_4^{2-} รวมทั้งยังมีพิคของหมู่กรดซัลฟอนิก ได้แก่ Asymmetric SO_2 stretching ที่ช่วงหมายเลขคลื่นประมาณ $1300\text{--}1400 \text{ cm}^{-1}$ พิคของเกลือกรดซัลฟอนิกที่หมายเลขคลื่นประมาณ 1386 cm^{-1} จึงยืนยันได้ว่ากรดซัลฟิวอิกเข้าไปสร้างพันธะในสายโซ่ของไฮโดรเจน



รูปที่ 4.1 FTIR spectra ของเมมเบรนไฮโดรเจน (a) แบบไม่เชื่อมขาว (b) แบบเชื่อมขาว

4.3 ปริมาณการดูดซับน้ำในเมมเบรน

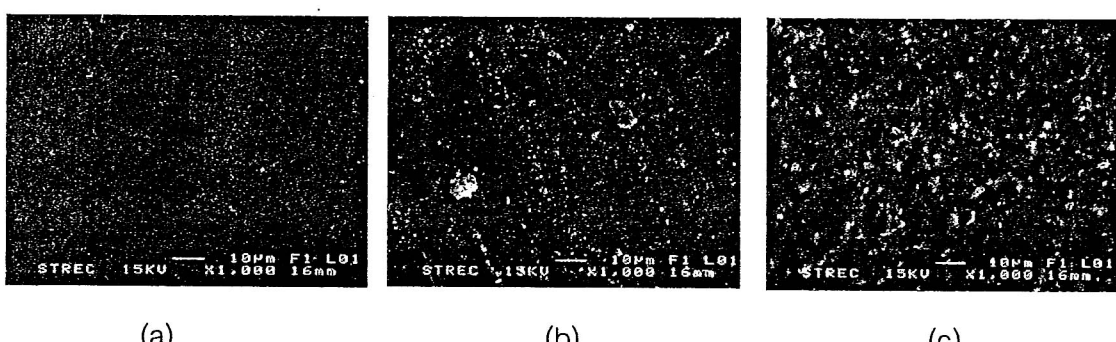
รูปที่ 4.2 แสดงปริมาณการดูดซับน้ำในเมมเบรนไฮโดรเจนเชื่อมขาว และเมมเบรนไฮโดรเจนเชื่อมขาว-ซีโอลิດ พบร่วมกับเมื่อเติมซีโอลิດลงไปจะทำให้ปริมาณการดูดซับน้ำในเมมเบรนเพิ่มขึ้น ตามปริมาณซีโอลิດที่มากขึ้น จาก 0.70 ± 0.02 เป็น 0.94 ± 0.02 เมื่อปริมาณซีโอลิດที่เติมเท่ากับ 0 และ 40 โดยน้ำหนักของน้ำหนักไฮโดรเจน ตามลำดับ เนื่องจากซีโอลิດเป็นสารที่มีความเป็นรูพรุนสูง และโครงสร้างของซีโอลิດแสดงความมีช้าซึ่งเกิดจากไอโอนของโซเดียม (Na^+) ที่เป็น Counter ion ของซีโอลิດ เป็นผลให้เกิดแรงดึงดูดระหว่างโมเลกุln้ำกับพื้นผิวของซีโอลิດ ทำให้ซีโอลิດสามารถดูดซับโมเลกุln้ำไว้ภายในรูพรุนได้ดี ทำให้เมมเบรนไฮโดรเจน-ซีโอลิດสามารถดูดซับน้ำไว้ในเมมเบรนได้สูงกว่าเมมเบรนไฮโดรเจนที่ไม่ได้ทำการเติมซีโอลิດ



รูปที่ 4.2 ปริมาณการดูดซับน้ำในเมมเบรนไคโตไซน์เชื่อมขวาง-ซีโอลิต

4.4 ลักษณะสัณฐานวิทยา

รูปที่ 4.3 แสดงลักษณะทางสัณฐานวิทยาบนพื้นผิวของเมมเบรนไคโตไซน์เชื่อมขวาง เมมเบรนไคโตไซน์เชื่อมขวาง-ซีโอลิตที่มีปริมาณของซีโอลิตเท่ากับร้อยละ 10 และ 40 โดย น้ำหนักของน้ำหนักไคโตไซน์ ตามลำดับ พบร่วมกับเมมเบรนไคโตไซน์เชื่อมขวางมีลักษณะ พื้นผิวที่เป็นเนื้อแน่นและราบรื่น ในขณะที่เมมเบรนไคโตไซน์เชื่อมขวาง-ซีโอลิตที่มีปริมาณของ ซีโอลิตร้อยละ 10 และ 40 โดยน้ำหนักของน้ำหนักไคโตไซน์ จะเห็นอนุภาคของแข็งสีขาวซึ่งคาด ว่าเป็นอนุภาคซีโอลิตกระจายอยู่ทั่วพื้นผิวนี้ โดยมีบางตำแหน่งจะเห็นอนุภาคของแข็งจับตัวกัน เป็นก้อนใหญ่ เนื่องจากขั้นตอนการทำให้ซีโอลิตกระจายตัวในสารละลายไคโตไซน์ไม่ดี โดย ขนาดอนุภาคซีโอลิตในเมมเบรนจะใหญ่ขึ้นตามปริมาณซีโอลิตที่ใช้ ดังแสดงในรูปที่ 4.3(c) การ รวมตัวกันของอนุภาคซีโอลิต จะส่งผลต่อค่าความสามารถในการทนต่อแรงดึงและสมรรถนะการ แยกแก๊สของเมมเบรนซึ่งจะกล่าวถึงในส่วนต่อไป

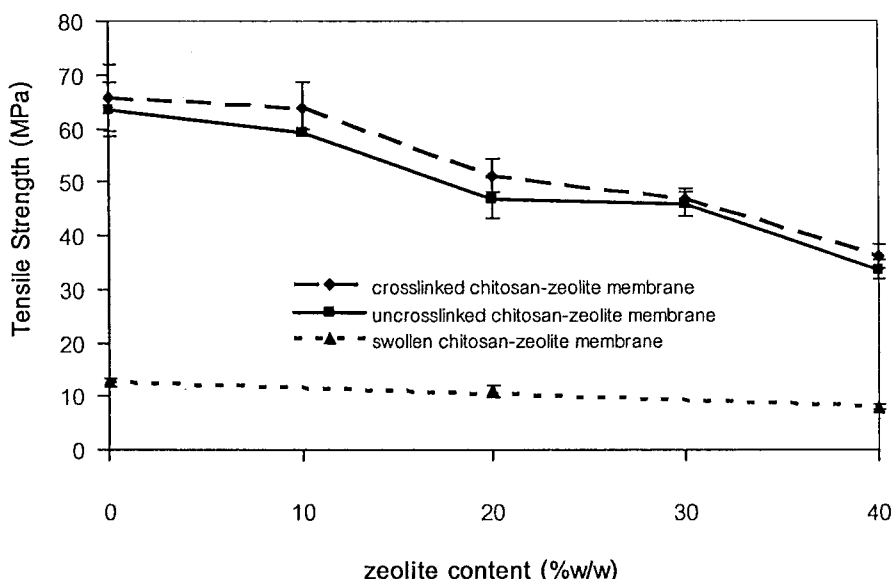


รูปที่ 4.3 ลักษณะพื้นผิวของเมมเบรนไคโตไซน์เชื่อมขวาง-ซีโอลิต

(a) 0% zeolite (b) 10% zeolite (c) 20% zeolite

4.5 ความสามารถทนต่อแรงดึง

รูปที่ 4.4 แสดงความสามารถในการทนต่อแรงดึงของเมมเบรนไคโตซาน–ซีโอลิเต้ พบร้า เมมเบรนเชื่อมขวางมีค่าความสามารถในการทนต่อแรงดึงสูงกว่าเมมเบรนไม่เชื่อมขวาง เนื่องจาก สายโซ่พอลิเมอร์มีการจัดเรียงตัวในลักษณะที่แนบชิดทำให้เกิดแรงยึดเหนี่ยวภายในของสายโซ่พอลิเมอร์เพิ่มขึ้น และเมื่อบริมาณซีโอลิเต้เพิ่มขึ้น ค่าความสามารถในการทนต่อแรงดึงจะลดลง เป็นผลเนื่องมาจากการเกิดรอยแยกที่ผิวสัมผัส (Interfacial void) ระหว่างพื้นผิวของซีโอลิเต้และไคโตซาน [8, 9] ดังที่ได้กล่าวในส่วนของลักษณะสัณฐานวิทยาบนพื้นผิวของเมมเบรน ทำให้สายโซ่พอลิเมอร์มีความยืดหยุ่นลดลง จากผลการทดลองในส่วนนี้จะนำไปยืนยันผลของสมรรถนะการแยกแก๊สของเมมเบรนเชื่อมขวาง ซึ่งจะกล่าวถึงในส่วนต่อไป และเมื่อศึกษาค่าความสามารถทนแรงดึงของเมมเบรนเชื่อมขวางไคโตซาน–ซีโอลิเต้ที่บวมตัวด้วยน้ำ พบร้าความสามารถทนต่อแรงดึงน้อยกว่าเมมเบรนเชื่อมขวางไคโตซาน–ซีโอลิเต้มาก เนื่องมาจากโมเลกุลของน้ำเข้าไปทำให้สายโซ่พอลิเมอร์มีปริมาตรอิสระมากขึ้น สงผลให้แรงยึดเหนี่ยวภายในสายโซ่พอลิเมอร์ลดลง



รูปที่ 4.4 ความสามารถทนต่อแรงดึงของเมมเบรนไคโตซาน–ซีโอลิเต้

4.6 สมรรถนะการแยกแก๊สแห้งของเมมเบรนแห้ง

โดยปกติในการศึกษาสมรรถนะการแยกแก๊สของเมมเบรน จะศึกษาในลักษณะใช้เมมเบรนแห้งแยกแก๊สแห้ง แต่ในความเป็นจริงแก๊สจากระบบบ่อแก๊สชีวภาพไม่แห้งซึ่งอาจทำให้สมรรถนะการแยกแตกต่างจากระบบแก๊สแห้ง/เมมเบรนแห้งได้ ในส่วนนี้จะพิจารณาสมรรถนะการ

แยกของระบบแก๊สแห้ง/เมมเบรนแห้งก่อน โดยศึกษาภัยแก๊สคาร์บอนไดออกไซด์และมีเทน
เนื่องจากเป็นองค์ประกอบหลักของแก๊สชีวภาพ

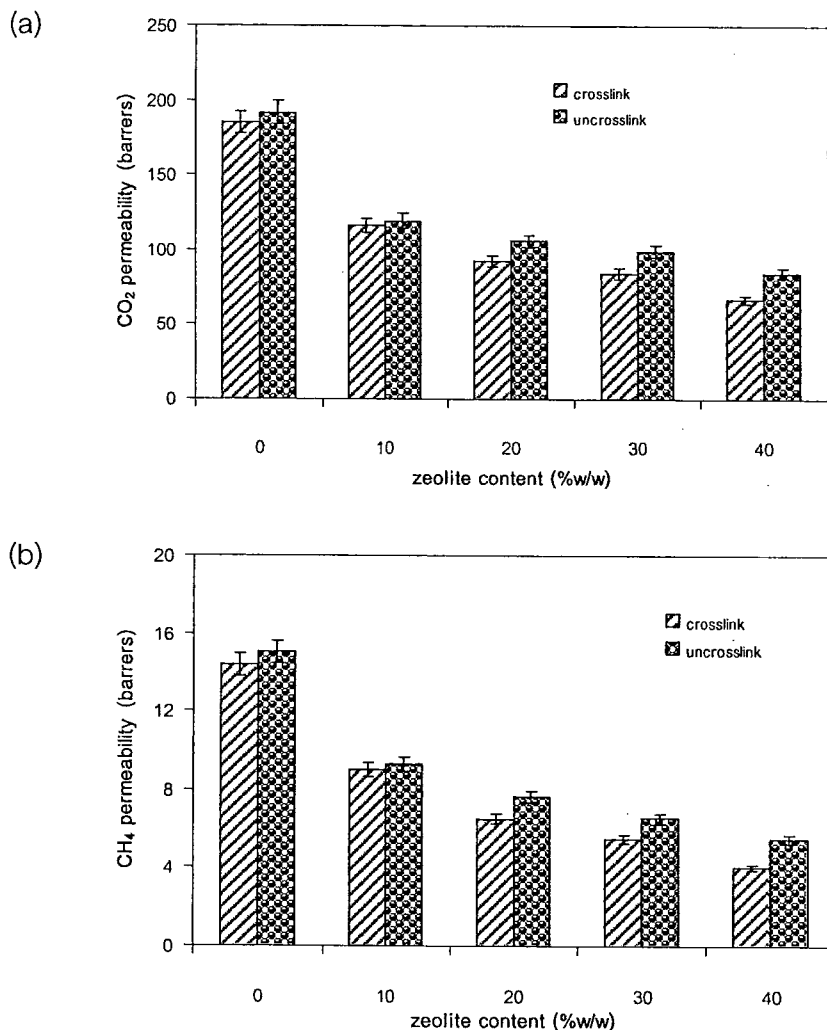
4.6.1 ผลของการเชื้อมขวางเมมเบรน

ผลของการเชื้อมขวางเมมเบรนที่มีต่อสมรรถนะการแยกแก๊สแห้งของเมมเบรนแห้งที่
อุณหภูมิ 30 องศาเซลเซียส และความดัน 1 บาร์ แสดงในรูปที่ 4.5 พบว่าเมมเบรนเชื้อมขวางให้ค่า
การซึมผ่านแก๊สคาร์บอนไดออกไซด์และมีเทนต่ำกว่าเมมเบรนไม่เชื้อมขวาง นอกจากนั้นยังพบว่า
เมมเบรนไครโടาชานขอบให้แก๊สคาร์บอนไดออกไซด์ผ่านได้มากกว่าแก๊สมีเทน ทำให้ค่าการ
เลือกสรรแก๊สคาร์บอนไดออกไซด์ต่อมีเทนสูง โดยเมมเบรนเชื้อมขวางแสดงค่าการเลือกสรรแก๊ส
คาร์บอนไดออกไซด์ต่อมีเทนสูงกว่าเมมเบรนไม่เชื้อมขวางที่ทุก ๆ สัดส่วนของชีโอลิตในไครโಟาชาน
ดังแสดงในรูปที่ 4.6 เนื่องจากการเชื้อมขวางเมมเบรนจะทำให้สายโซ่พอลิเมอร์มีการจัดเรียงตัว
เป็นระเบียบมากขึ้นซึ่งองค์ว่างระหว่างสายโซ่พอลิเมอร์ลดลง จึงเป็นเหตุให้ไม่เกิดข้อกัดของแก๊ส
คาร์บอนไดออกไซด์และมีเทนสามารถเคลื่อนที่ผ่านเมมเบรนได้ลดลง ค่าการเลือกสรรแก๊ส
คาร์บอนไดออกไซด์ต่อมีเทนผ่านเมมเบรนจึงมีค่าเพิ่มขึ้น

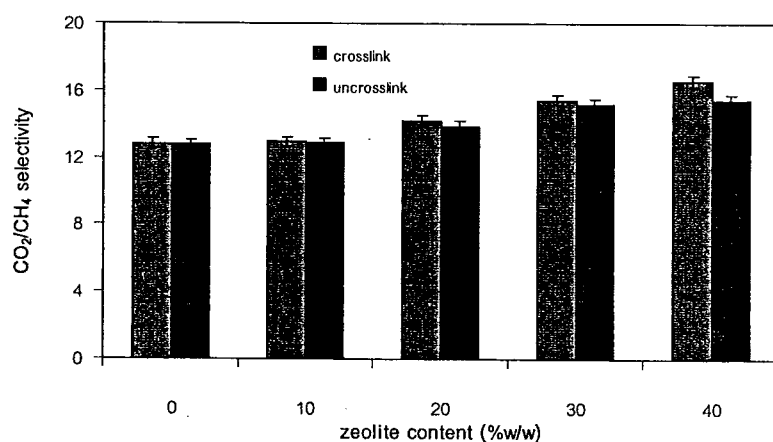
จากการทดลองในส่วนนี้ พบว่าเมมเบรนเชื้อมขวางจะให้ค่าการเลือกสรรแก๊ส
คาร์บอนไดออกไซด์ต่อมีเทนสูงกว่าเมมเบรนไม่เชื้อมขวาง ทั้งยังมีค่าความสามารถในการทนต่อ
แรงดึงที่ดีกว่า จึงเลือกศึกษาสมรรถนะการแยกแก๊สของเมมเบรนในส่วนต่อไปกับเมมเบรนเชื้อม
ขวาง

4.6.2 ผลของความดัน

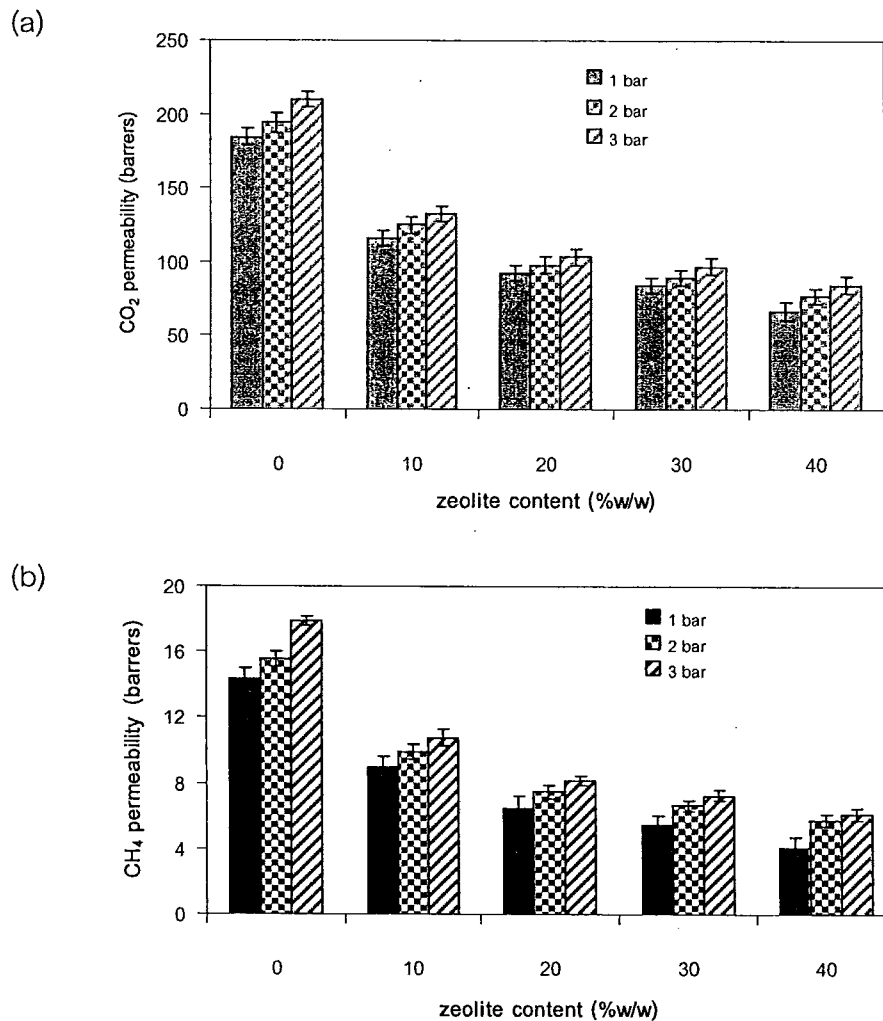
ผลของความดันที่มีต่อสมรรถนะการแยกแก๊สแห้งของเมมเบรนเชื้อมขวางแห้งที่อุณหภูมิ
30 องศาเซลเซียส แสดงในรูปที่ 4.7 พบว่าเมื่อความดันเพิ่มขึ้นค่าการซึมผ่านแก๊ส
คาร์บอนไดออกไซด์และมีเทนจะมีค่าเพิ่มขึ้น แต่ค่าการเลือกสรรแก๊สคาร์บอนไดออกไซด์ต่อมีเทน
มีค่าลดลง ดังแสดงในรูปที่ 4.8 เนื่องจากในกระบวนการแยกแก๊สด้วยเมมเบรน มีความดันอยู่
ของสารเพอร์มิเอตเป็นแรงขับ (Driving force) ดังนั้นมีความดันเพิ่มขึ้น ก็จะทำให้ไม่เกิดข้อกัดของ
แก๊สสามารถเคลื่อนที่ผ่านเมมเบรนได่ง่ายกว่าในกรณีที่ความดันต่ำ จึงเป็นเหตุให้ไม่เกิดข้อกัดของแก๊ส
คาร์บอนไดออกไซด์และมีเทนสามารถเคลื่อนที่ผ่านเมมเบรนได้เพิ่มขึ้น ค่าการเลือกสรรแก๊ส
คาร์บอนไดออกไซด์ต่อมีเทนของเมมเบรนจึงมีค่าลดลง



รูปที่ 4.5 ผลของการเชื่อมขวางเมมเบรนต่อค่าการซึมผ่านแก๊สที่อุณหภูมิ 30 องศาเซลเซียส และความดัน 1 บาร์ (a) คาร์บอนไดออกไซด์ (b) มีเทน

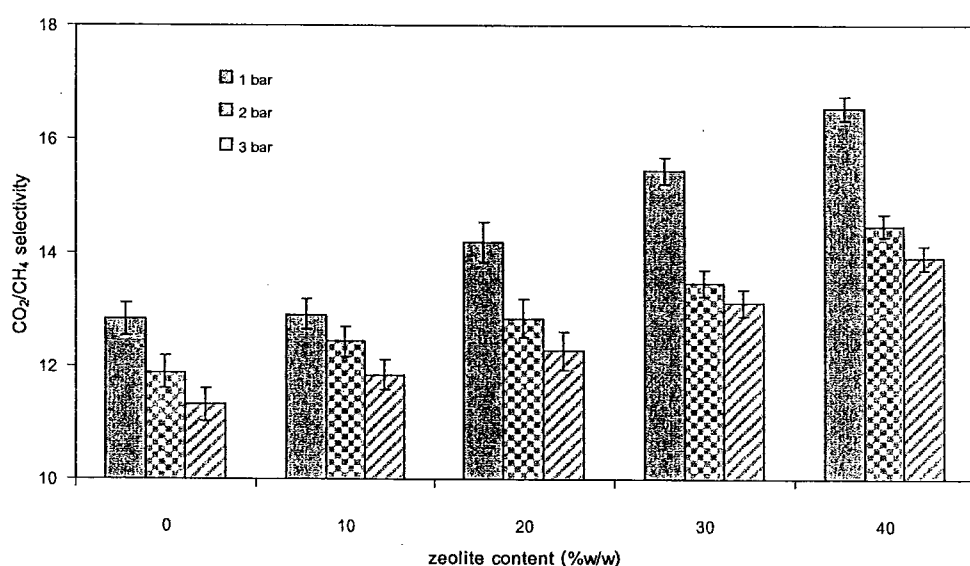


รูปที่ 4.6 ผลของการเชื่อมขวางเมมเบรนต่อค่าการเลือกสรรแก๊ส คาร์บอนไดออกไซด์ต่อมีเทนที่อุณหภูมิ 30 องศาเซลเซียส และความดัน 1 บาร์



รูปที่ 4.7 ผลของความดันต่อค่าการซึมผ่านแก๊สที่อุณหภูมิ 30 องศาเซลเซียส

(a) คาร์บอนไดออกไซด์ (b) มีเทน



รูปที่ 4.8 ผลของความดันต่อค่าการเลือกสรรแก๊สคาร์บอนไดออกไซด์

ต่อมีเทนที่อุณหภูมิ 30 องศาเซลเซียส

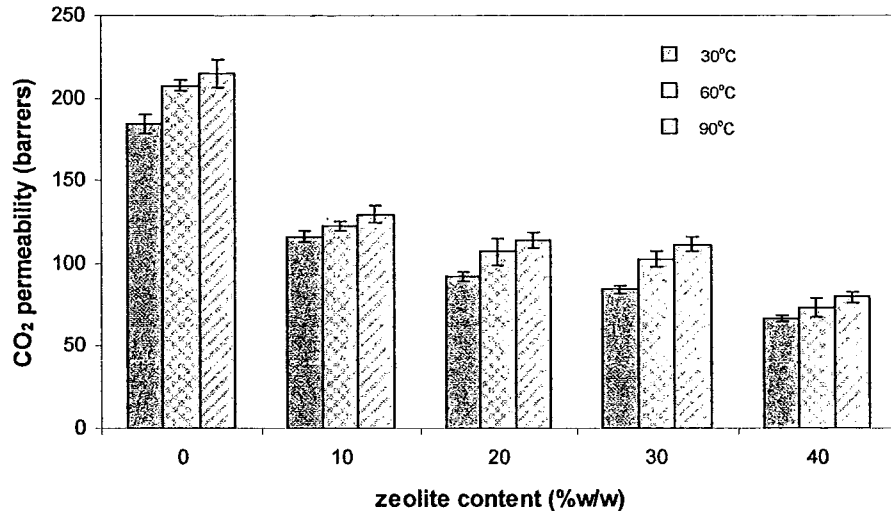
4.6.3 ผลของอุณหภูมิ

เนื่องจากความดันของแก๊สชีวภาพจากการบันดาลน้ำเสียแบบไดออกซิเจนอยู่ที่ 1 บาร์ แต่ อุณหภูมิในการป้องกันสารอินทรีย์ในกระบวนการไดออกซิเจนที่เหมาะสมมีอยู่ 2 ช่วง ช่วงการทำงานของ Mesophilic bacteria ซึ่งมีอุณหภูมิอยู่ในช่วง 30–40 องศาเซลเซียส และช่วงการทำงานของ Thermophilic bacteria ซึ่งมีอุณหภูมิอยู่ในช่วง 45–55 องศาเซลเซียส ในส่วนนี้จึงได้ศึกษาผลของการอุณหภูมิที่มีต่อสมรรถนะการแยกแก๊สแห้งของเมมเบรนเชื่อมขวางแห้ง ที่ความดัน 1 บาร์ ดังแสดงในรูปที่ 4.9 พบว่าเมื่ออุณหภูมิเพิ่มขึ้น ค่าการซึมผ่านแก๊สคาร์บอนไดออกไซด์และ มีเทนจะมีค่าเพิ่มขึ้น แต่ค่าการเลือกสรรแก๊สคาร์บอนไดออกไซด์ต่อ มีเทนลดลง ดังแสดงในรูปที่ 4.10 เนื่องจากอุณหภูมิที่เพิ่มขึ้นจะไปกระตุ้นให้ไม้เลกูลของแก๊สมีพลังงานภายในเพิ่มขึ้น อีกทั้ง สายโซ่พอลิเมอร์จะได้รับพลังงานจากอุณหภูมิที่เพิ่มขึ้น เกิดการเคลื่อนไหวออกจากเกี้ยวพัน กันภายในสายโซ่พอลิเมอร์ (Chain entanglement) สงผลให้เกิดปริมาตรหรือซ่องว่างระหว่างสายโซ่เพิ่มมากขึ้นเป็นเหตุให้ไม้เลกูลของแก๊สคาร์บอนไดออกไซด์และมีเทนสามารถเคลื่อนที่ผ่านเมมเบรนได้มากขึ้น ค่าการเลือกสรรแก๊สคาร์บอนไดออกไซด์ต่อ มีเทนผ่านเมมเบรนจึงมีค่าลดลง

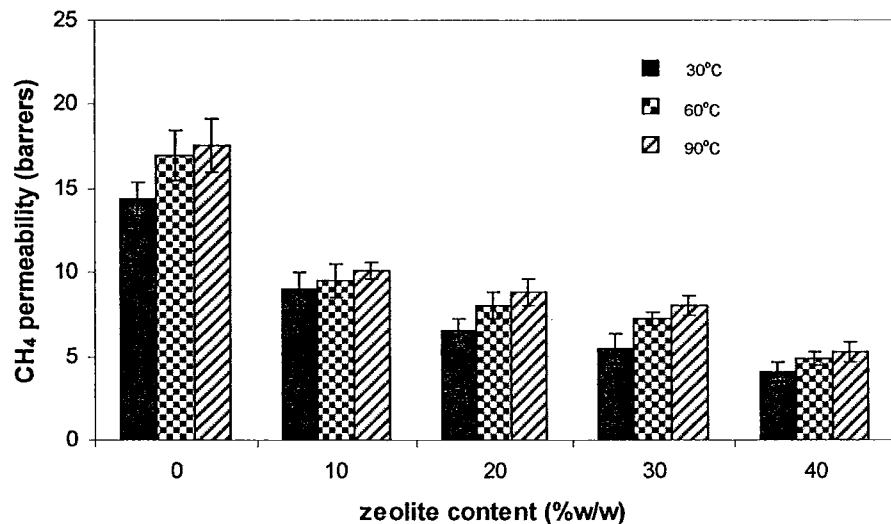
4.6.4 ผลของปริมาณซีโอลิต

การมีซีโอลิตในไคลोไซด์เคมทริกทำให้ค่าการซึมผ่านแก๊สลดลงซึ่งน่าจะเกิดจากผลของการเปลี่ยนรูปของซีโอลิต เนื่องจากการมีอนุภาคซีโอลิตเข้าไปแทรกอยู่ในสายโซ่พอลิเมอร์เกิดความแข็งกระด้าง เนื่องจากการมีอนุภาคซีโอลิตเข้าไปแทรกอยู่ในสายโซ่พอลิเมอร์นี้ว่าความไม่อ่อนไหวของสายโซ่พอลิเมอร์ (Polymer chain rigidification) หรือเกิดจากการที่สายโซ่พอลิเมอร์เคลื่อนที่ไปบดบังรูพรุนของซีโอลิตบางส่วน เป็นผลให้รูพรุนของซีโอลิตเกิดการอุดตัน (Partial pore blockage of zeolite) ตามงานวิจัยของ Chung และคณะ [13] ซึ่งจะส่งผลต่อค่าการเลือกสรรคุณแก๊ส ได้ผลดังแสดงในรูปที่ 4.5–4.10 ผลการทดสอบสมรรถนะการแยกแก๊สแห้งของเมมเบรนแห้งที่อุณหภูมิ 30 องศาเซลเซียส และความดัน 1 บาร์ ขององค์ประกอบแก๊สต่างๆ ในแก๊สชีวภาพ (ยกเว้นแก๊สไฮโดรเจนซัลฟิด) แสดงในรูปที่ 4.11–4.12 พบว่าปริมาณซีโอลิตเพิ่มขึ้น จะให้ค่าการซึมผ่านแก๊สคาร์บอนไดออกไซด์ มีเทน ไฮโดรเจน และไนโตรเจนลดลงจาก 184.7 ± 20.3 , 14.4 ± 2.0 , 980.5 ± 16.8 และ 18.3 ± 0.7 แบเรอร์ เป็น 66.8 ± 6.4 , 4.0 ± 0.6 , 387.5 ± 26.1 และ 7.4 ± 0.6 แบเรอร์ ตามลำดับ แต่ค่าการเลือกสรรแก๊สคาร์บอนไดออกไซด์ต่อ มีเทน ไฮโดรเจนต่อ มีเทน และไนโตรเจนต่อ มีเทนเพิ่มขึ้นจาก 12.8 ± 1.6 , 68.1 ± 1.5 และ 1.3 ± 0.1 เป็น 16.5 ± 1.6 , 96.9 ± 1.5 และ 1.9 ± 0.1 ตามลำดับ เมื่อปริมาณของซีโอลิตเพิ่มขึ้นจาก 0 เป็น 40 โดยน้ำหนักของน้ำหนักไคลอไซด์

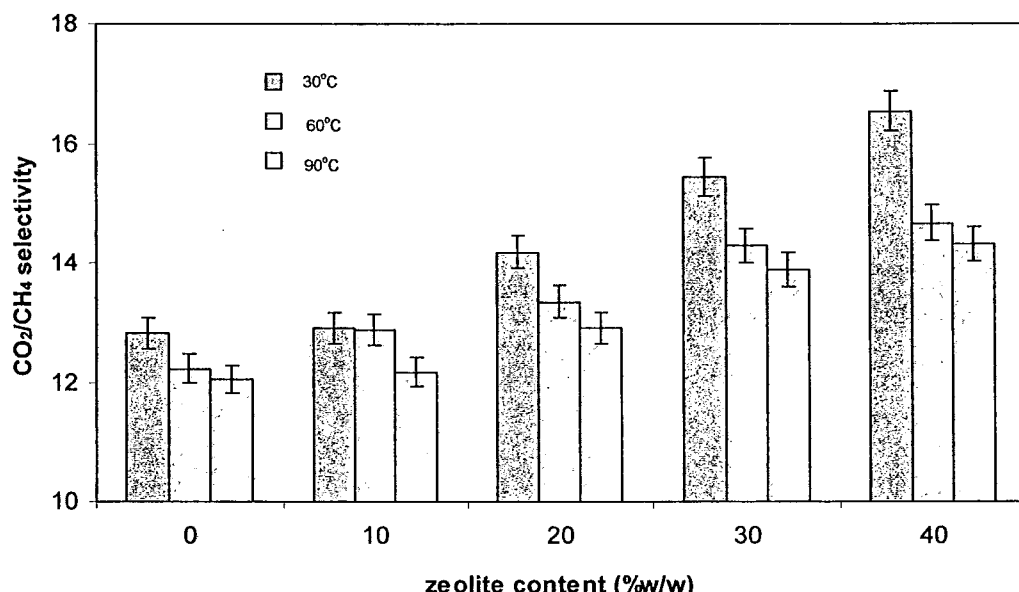
(a)



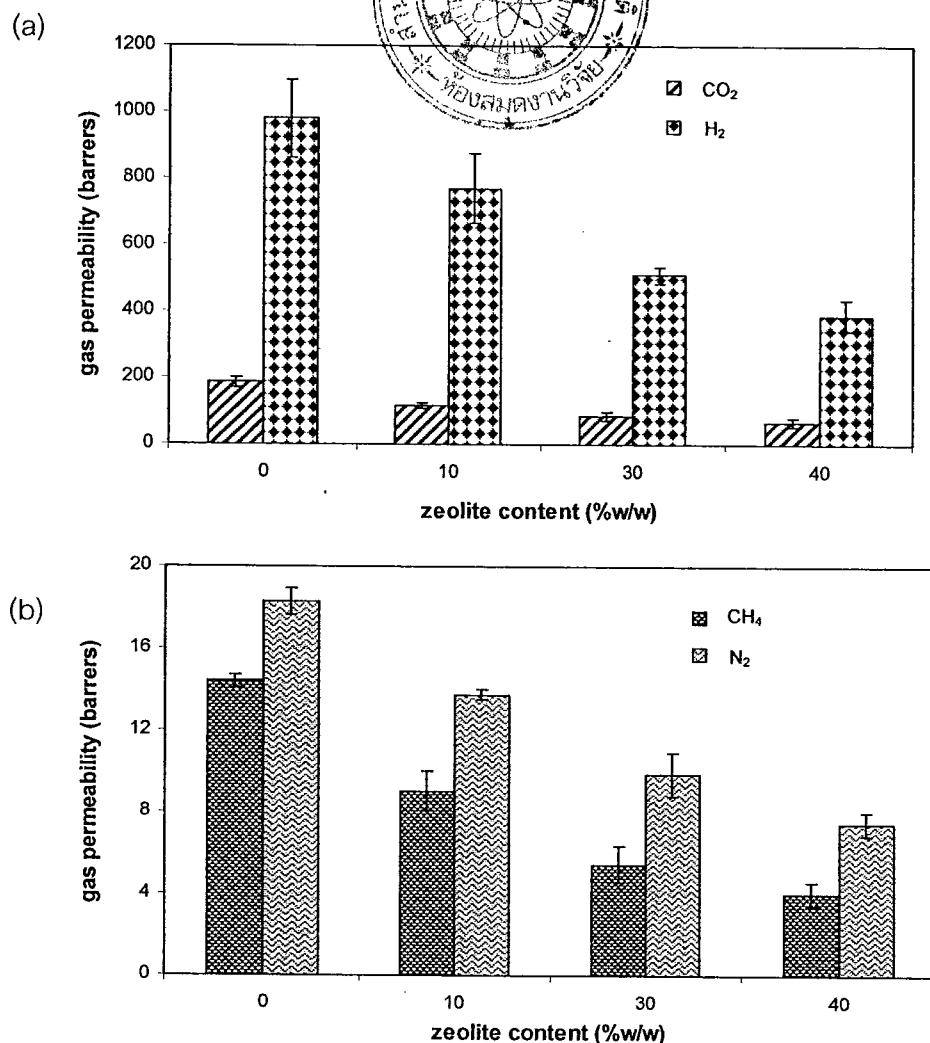
(b)



รูปที่ 4.9 ผลของอุณหภูมิต่อค่าการซึมผ่านแก๊สที่ความดัน 1 บาร์ (a) คาร์บอนไดออกไซด์ (b) มีเทน

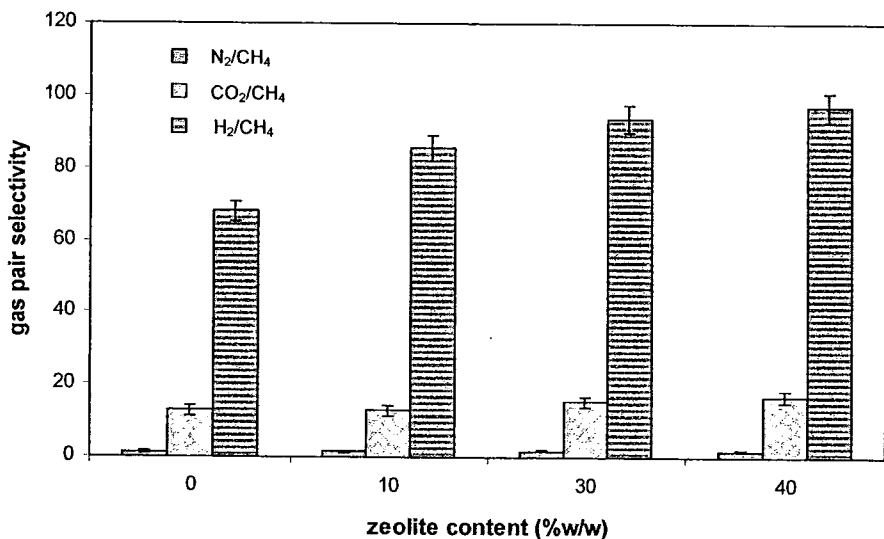


รูปที่ 4.10 ผลของอุณหภูมิต่อค่าการเลือกสรรแก๊สcarbon dioxide ต่อมีเทนที่ความดัน 1 บาร์



รูปที่ 4.11 ผลของปริมาณซีโอลิตต่อค่าการซึมผ่านแก๊สแห้งผ่านเมมเบรนแห้งที่อุณหภูมิ 30 องศาเซลเซียสและความดัน 1 บาร์

(a) คาร์บอนไดออกไซด์และไฮโดรเจน (b) มีเทนและไนโตรเจน



รูปที่ 4.12 ผลของปริมาณซีโอลิตต่อค่าการเลือกสรรค์แก๊สแห้งผ่านเมมเบรนแห้งที่อุณหภูมิ 30 องศาเซลเซียส และความดัน 1 บาร์

4.7 สมรรถนะการแยกแก๊สจากสภาพจำลองระบบป่าแก๊สชีวภาพ

เนื่องจากแก๊สจากการระบบทะเลป่าแก๊สชีวภาพไม่เป็นแก๊สแห้ง เพื่อให้ผลงานวิจัยสามารถนำไปใช้ประโยชน์ได้จริง ในส่วนนี้จึงได้ศึกษาสมรรถนะการแยกแก๊สของเมมเบรนจากสภาพจำลองโดยแบ่งเป็น 3 กรณี คือ

- 1) ศึกษาสมรรถนะการแยกแก๊สแห้งของเมมเบรนบวมตัวด้วยน้ำ
- 2) ศึกษาสมรรถนะการแยกแก๊สเปลี่ยนของเมมเบรนแห้ง
- 3) ศึกษาสมรรถนะการแยกแก๊สเปลี่ยนของเมมเบรนบวมตัวด้วยน้ำ

4.7.1 สมรรถนะการแยกแก๊สแห้งของเมมเบรนบวมตัวด้วยน้ำ

จากการศึกษาค่าการซึมผ่านแก๊สและค่าการเลือกสรรคุณแก๊สแห้งของเมมเบรนเชื่อมขาวงบวมตัวด้วยน้ำ ที่อุณหภูมิ 30 องศาเซลเซียส และความดัน 1 บาร์ แสดงดังรูปที่ 4.13 พบว่าค่าการซึมผ่านแก๊สทุกชนิดลดลงเมื่อปริมาณซีโอลิตเพิ่มขึ้น เช่นเดียวกับในกรณีการแยกแก๊สแห้งด้วยเมมเบรนแห้ง แต่ค่าการซึมผ่านแก๊สทุกชนิดมีค่าสูงกว่าของเมมเบรนแห้ง ซึ่งให้ผลการทดลอง สอดคล้องกับงานวิจัยของ Liu และคณะ [14] ทั้งนี้เนื่องจากสายโซ่พอลิเมอร์ของเมมเบรนที่บวมตัวด้วยน้ำมีความอ่อนตัวและอยู่ห่างกันมากขึ้น ไม่เลกตอกของแก๊สจึงสามารถแพร่ผ่านได้มากขึ้น ในกรณีนี้การมีอนุภาคซีโอลิตในเมทริกซ์โคโลไซด์ไม่ได้ช่วยให้ค่าการเลือกสรรคุณแก๊สลดลงในรูปที่ 4.14 ดีขึ้นอย่างมีนัยสำคัญ เมื่อเทียบกับเมทริกซ์โคโลไซด์ต่อมีเทน ทั้งนี้อาจเนื่องจากซีโอลิตก็สามารถดูดซับน้ำได้เช่นเดียวกับโคโลไซด์ทำให้ข้อดีในการเลือกสรรแก๊สของอนุภาคอนินทรีย์ซีโอลิตถูกบิดเบือนไป

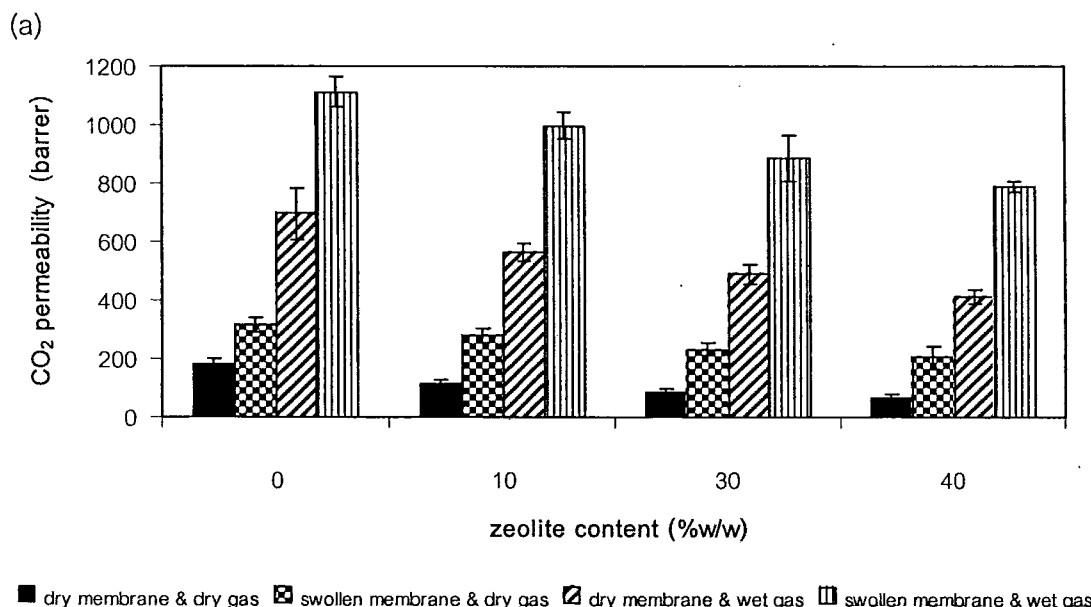
4.7.2 สมรรถนะการแยกแก๊สเปลี่ยนของเมมเบรนแห้ง

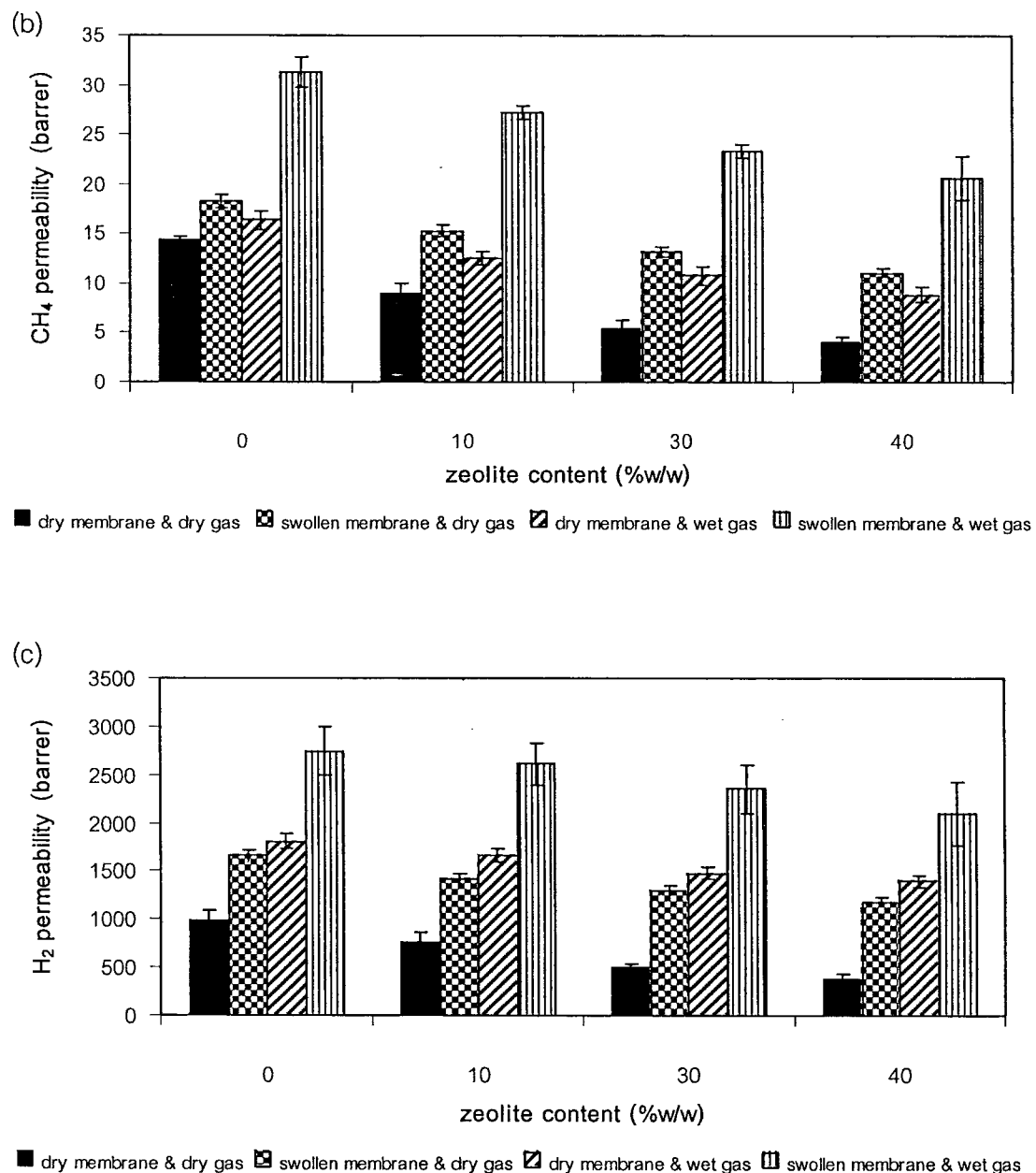
ในการป้อนแก๊สเปลี่ยนผ่านเมมเบรนแห้งที่อุณหภูมิ 30 องศาเซลเซียส และความดัน 1 บาร์ แสดงดังรูปที่ 4.13 พบว่าเมื่อปริมาณของซีโอลิตเพิ่มขึ้นค่าการซึมผ่านแก๊สทุกชนิดลดลง เช่นเดิม แต่จะเริ่มเห็นความแตกต่างจากในกรณีการแยกแก๊สแห้งด้วยเมมเบรนเปลี่ยนในหัวข้อ 4.7.1 โดยแก๊สที่สามารถละลายได้มากและเมมเบรนชอบให้ผ่านได้มากกว่า คือ แก๊สคาร์บอนไดออกไซด์ และไฮโดรเจน จะให้ค่าการซึมผ่านมากขึ้นกว่าใน 2 กรณีก่อนหน้า ต่างจากแก๊สที่สามารถละลายได้น้อย คือ แก๊สมีเทนและไนโตรเจนจะให้ค่าการซึมผ่านแก๊สน้อยกว่ากรณีการแยกแก๊สแห้งด้วยเมมเบรนเปลี่ยน อย่างไรก็ตามยังคงมากกว่ากรณีการแยกแก๊สแห้งด้วยเมมเบรนแห้ง ทั้งนี้อาจเนื่องมาจากความซึ้นที่มากับแก๊สเปลี่ยน ทำให้เมมเบรนบวมตัวได้ต่างกัน เนื่องจากผลกระทบจากแก๊สสูญเสียเมมเบรน โดยปริมาณน้ำที่มากับแก๊สมีเทนและไนโตรเจนซึ่งละลายน้ำได้น้อยไม่มากพอทำให้เมมเบรนบวมได้เท่ากับกรณีทำให้เมมเบรนอิ่มตัวด้วยน้ำก่อน ผลที่ตามมาคือทำให้

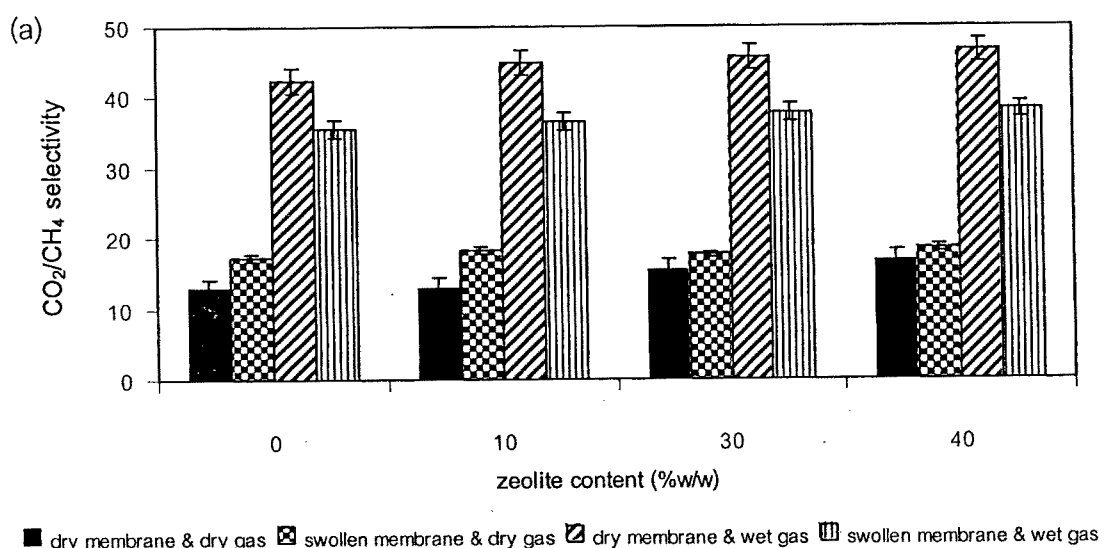
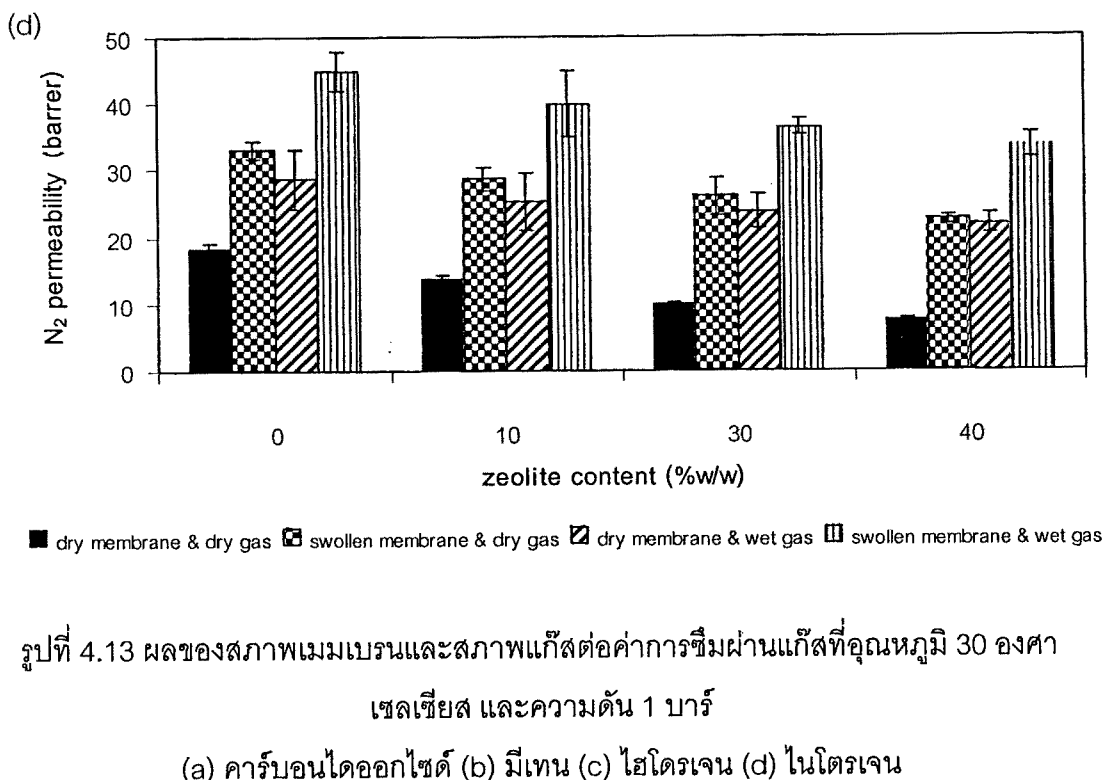
ค่าการเลือกสรรดังแสดงในรูปที่ 4.14 ของแก๊สละลายน้ำได้มากกับแก๊สที่ละลายน้ำได้น้อย (ค่าการเลือกสรรแก๊สคาร์บอนไดออกไซด์ต่อมีเทน และไฮโดรเจนต่อมีเทน) สูงขึ้น โดยเฉพาะคุณภาพที่มีขนาดไม่เลกูลิกอลเดียงกัน คือ ค่าการเลือกสรรแก๊สคาร์บอนไดออกไซด์ต่อมีเทน

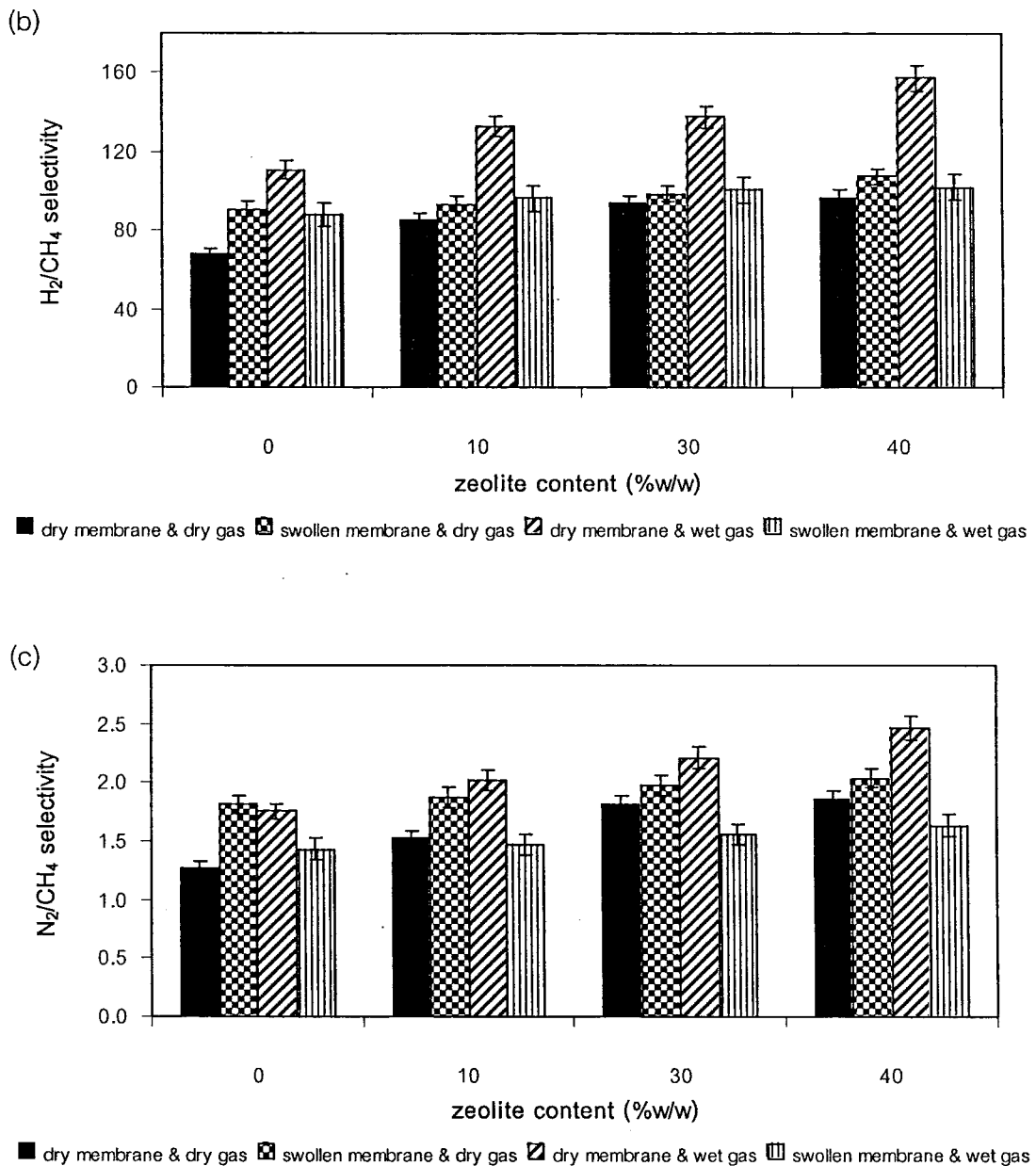
4.7.3 สมรรถนะการแยกแก๊สเปียกของเมมเบรนบรวมตัวด้วยน้ำ

ค่าการซึมผ่านแก๊สและค่าการเลือกสรรคุณภาพแก๊สเปียกของเมมเบรนเขื่อมขวางบรวมตัวด้วยน้ำที่อุณหภูมิ 30 องศาเซลเซียส และความดัน 1 บาร์ แสดงดังรูปที่ 4.13 พบว่าค่าการซึมผ่านแก๊สเปียกทุกชนิดลดลงเมื่อปริมาณซีโอลิตเพิ่มขึ้นเช่นเดิม และมีค่าสูงกว่าอีก 3 กรณีที่กล่าวมาแล้ว อธิบายได้ว่าในกรณีนี้ไม่ต้องมีการถ่ายโอนมวลน้ำข้ามไปมาระหว่างเมมเบรนและแก๊ส เพราะทั้งเมมเบรนและแก๊สได้อิ่มตัวด้วยน้ำแล้ว ทำให้สภาพการบรวมตัวของเมมเบรนไม่เปลี่ยนแปลงขณะที่มีแก๊สถ่ายโอนผ่านเมมเบรน โดยค่าการซึมผ่านแก๊สในกรณีนี้ทุกชนิดสูงกว่ากรณีป้อนแก๊สแห้งมาก เนื่องมาจากการว่าเมมเบรนชนิดชอบน้ำย้อมชอบให้แก๊สเปียกผ่านได้มากกว่าแก๊สแห้ง เมื่อแก๊สทุกชนิดอยู่ในสภาพเปียกและเมมเบรนบรวมตัวเต็มที่สมรรถนะการเลือกสรรแก๊ส ดังแสดงในรูปที่ 4.14 จึงด้อยลง



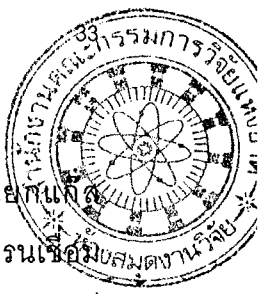






รูปที่ 4.14 ผลของสภาพเมมเบรนและสภาพแก๊สต่อค่าการเลือกสรรคุ่แก๊สที่อุณหภูมิ 30 องศาเซลเซียส และความดัน 1 บาร์

(a) คาร์บอนไดออกไซด์ต่อมีเทน (b) ไฮโดรเจนต่อมีเทน (c) ในตัวเรนต่อมีเทน

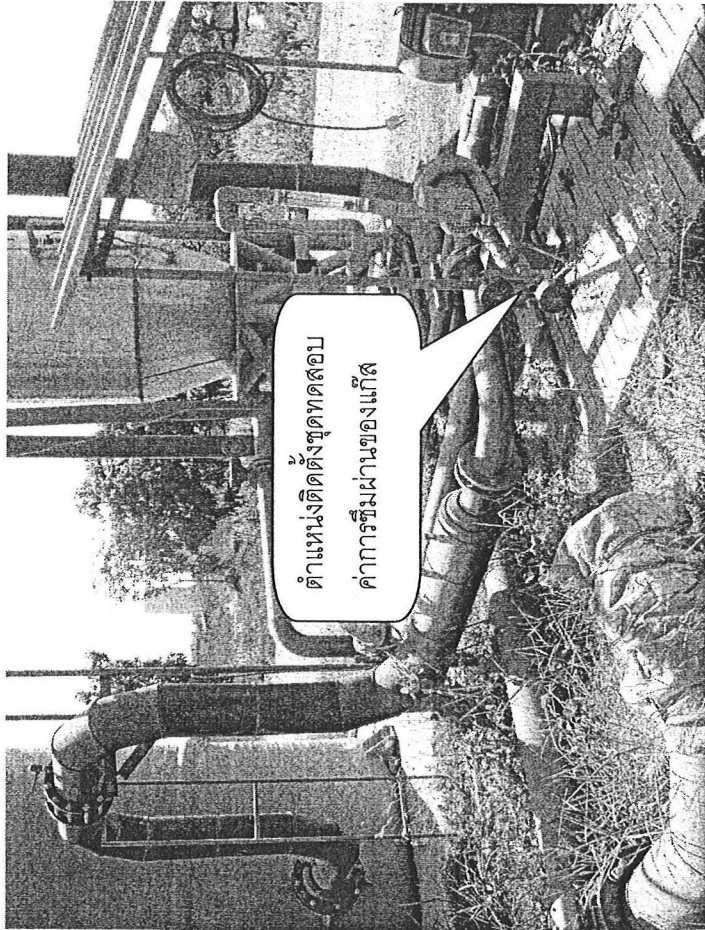


4.8 ผลการศึกษาการใช้กระบวนการเมมเบรนกับฟาร์มสูกรกรนีศึกษา

จากหัวข้อข้างต้นสรุปผลการศึกษาสมรรถนะอุดมคติการใช้เมมเบรนแยกแก๊ส คาร์บอนไดออกไซด์ออกจากแก๊สมีเทน ได้ว่า เมมเบรนที่มีศักยภาพมากที่สุดคือเมมเบรนเชื่อมส่วนกลาง ขวางโคโรนา-ชีโอลีตที่มีปริมาณของชีโอลีตร้อยละ 40 โดยนำหนักของน้ำหนักโคโรนา โดยมี สมรรถนะการแยกที่น่าสนใจ ดังนี้

Parameter	Dry membrane/dry gas		Swollen membrane/wet gas	
	30°C	60°C	30°C	60°C
CO ₂ permeability, barrer	66.8±6.4	272.9±5.6	788.0±17.8	872.1±33.7
CH ₄ permeability, barrer	4.0±0.6	7.8±0.6	20.6±2.2	23.7±1.0
H ₂ permeability, barrer	387.5±26.1	553.0±54.4	2102.1±31.8	2244.6±82.2
N ₂ permeability, barrer	7.4±0.6	11.8±0.9	33.7±0.9	37.4±2.1
CO ₂ /CH ₄ selectivity	16.5±1.6	35.0±1.0	38.2±0.2	36.9±1.7
H ₂ /CH ₄ selectivity	96.9±1.5	93.7±16.1	101.9±0.3	94.9±6.2
N ₂ /CH ₄ selectivity	1.9±0.1	1.8±0.2	1.6±0.1	1.7±0.1

ผลการวิเคราะห์คุณภาพแก๊สด้วยเครื่อง Gas Chromatography จากระบบบ่อแก๊ส ชีวภาพของฟาร์มสูกรกรนีศึกษา พบร่วม ณ ตำแหน่งที่ 1 (รูปที่ 4.15 (ก) ตำแหน่งที่แก๊สชีวภาพ ออกมากจากบ่อหมัก) มีปริมาณแก๊สมีเทนและแก๊สคาร์บอนไดออกไซด์ร้อยละ 55.3±2.2 และ 23.4±0.7 ตามลำดับ และ ณ ตำแหน่งที่ 2 (รูปที่ 4.15 (ข) ตำแหน่งที่แก๊สชีวภาพผ่านห้องกำจัด แก๊สคาร์บอนไดออกไซด์) มีปริมาณแก๊สมีเทนและแก๊สคาร์บอนไดออกไซด์ร้อยละ 55.1±1.6 และ 18.8±1.2. ตามลำดับ แสดงว่าห้องกำจัดแก๊สคาร์บอนไดออกไซด์ที่ฟาร์มใช้อยู่มีประสิทธิภาพไม่ เกินร้อยละ 20 เท่านั้น



(๑)



(๒)

รูปที่ 4.15 ตำแหน่งติดตั้งท่อต้องอยู่บนค่าการซึ่งผ่านเข้าออกตามมาตรฐานของประเทศ (๑) ตำแหน่งติดตั้งท่อต้องอยู่บนค่าการซึ่งผ่านเข้าออกตามมาตรฐานของประเทศ (๒)

จากการศึกษาสมรรถนะการแยกแก๊สของเมมเบรน 2 ชนิด คือ เมมเบรนเชื่อมขวางไคโตชาน และ เมมเบรนเชื่อมขวางไคโตชาน-ซีโอลิตที่มีปริมาณของซีโอลิตร้อยละ 40 โดยน้ำหนัก ณ ตำแหน่งที่ 1 และ ตำแหน่งที่ 2 ดังแสดงในตารางที่ 4.2 พบประเด็นต่อไปนี้

- ก) เมมเบรนเชื่อมขวางไคโตชาน-ซีโอลิตที่มีปริมาณของซีโอลิตร้อยละ 40 โดยน้ำหนัก มีค่าสมรรถนะการแยกแก๊สสูงกว่า เมมเบรนเชื่อมขวางไคโตชาน สอดคล้องกับ สมรรถนะการแยกอุดมคติ
- ข) ค่าการซึมผ่านแก๊ส และ ค่าการเลือกสรรแก๊สของเมมเบรนเชื่อมขวางไคโตชาน-ซีโอลิตที่มีปริมาณของซีโอลิตร้อยละ 40 โดยน้ำหนัก จากระบบบ่อแก๊สชีวภาพของ พาร์มสุกรกรณีศึกษา สอดคล้องกับ สมรรถนะการแยกอุดมคติ จาเมมเบรนแห้ง/แก๊สแห้ง
- ค) เมื่อใช้เมมเบรนเชื่อมขวางไคโตชาน ณ ตำแหน่งที่ 1 ทำให้แก๊สคาร์บอนไดออกไซด์ลดลงจากร้อยละ 23.4 ± 0.7 เป็น 10.5 ± 1.3 และ ณ ตำแหน่งที่ 2 จากร้อยละ 18.8 ± 1.2 เป็น 7.2 ± 2.9
- ง) เมื่อใช้เมมเบรนเชื่อมขวางไคโตชาน-ซีโอลิตที่มีปริมาณของซีโอลิตร้อยละ 40 โดยน้ำหนัก ณ ตำแหน่งที่ 1 ทำให้แก๊สคาร์บอนไดออกไซด์ลดลงจากร้อยละ 23.4 ± 0.7 เป็น 5.1 ± 0.3 และ ณ ตำแหน่งที่ 2 จากร้อยละ 18.8 ± 1.2 เป็น 3.4 ± 0.5

ตารางที่ 4.2 สมรรถนะการแยกแก๊สของเมมเบรนจากระบบบ่อแก๊สชีวภาพของพาร์มสุกรกรณีศึกษา

Parameter	Position 1		Position 2	
	0% zeolite	40% zeolite	0% zeolite	40% zeolite
CO ₂ permeability, barrer	249.5±13.5	170.0±13.7	212.5±16.0	151.6±13.4
CH ₄ permeability, barrer	8.7±2.7	5.5±1.3	9.1±0.8	4.7±0.4
CO ₂ /CH ₄ selectivity	28.7±1.4	30.6±1.4	23.4±6.1	32.0±6.1